



SINTESA SUPERABSORBEN DARI BIOMASSA AKUATIK DENGAN METODE GRAFTING- CROSSLINKING DENGAN DAN TANPA KOMPOSIT

Laporan Penelitian

Disusun untuk memenuhi tugas akhir guna mencapai gelar sarjana di bidang Ilmu Teknik
Kimia

Oleh :

Kezia Jocelyn (2013620038)

Pembimbing :

Dr. Ir. Judy Retti W, MAppSc.

Angela Martina, S.T., M.T.



**JURUSAN TEKNIK KIMIA
FAKULTAS TEKNOLOGI INDUSTRI
UNIVERSITAS KATOLIK PARAHYANGAN
BANDUNG**

2017

No. Kode	: TK JOC 5/17
Tanggal	: 24 Februari 2017
No. Ind.	: 4246-FTI/SKP 33513
Divisi	:
Hadir /	
Dari	: FTI



LEMBAR PENGESAHAN

JUDUL: SINTESA SUPERABSORBEN DARI BIOMASSA AKUATIK DENGAN
METODE GRAFTING-CROSSLINKING DENGAN DAN TANPA KOMPOSIT

CATATAN

Telah diperiksa dan disetujui,

Bandung, 4 Januari 2017

Pembimbing Utama,

A handwritten signature in black ink, appearing to read "Judy Retti W".

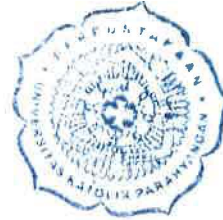
Dr. Ir. Judy Retti W, MAppSc.

Kopembimbing,

A handwritten signature in black ink, appearing to read "Angela Martina".

Angela Martina, S.T., M.T.

JURUSAN TEKNIK KIMIA
FAKULTAS TEKNOLOGI INDUSTRI
UNIVERSITAS KATOLIK PARAHYANGAN



SURAT PERNYATAAN

Kami, yang bertanda tangan di bawah ini:

Nama : Kezia Jocelyn

NRP : 6213038

Dengan ini menyatakan bahwa laporan penelitian dengan judul:

SINTESA SUPERABSORBEN DARI BIOMASSA AKUATIK DENGAN METODE GRAFTING-CROSSLINKING DENGAN DAN TANPA KOMPOSIT

Adalah hasil pekerjaan kami, dan seluruh ide, pendapat, dan materi dari sumber lain, telah dikutip dengan cara penulisan referensi yang sesuai.

Pernyataan ini saya buat dengan sebenar-benarnya dan jika pernyataan ini tidak sesuai dengan kenyataan, maka saya bersedia menanggung sanksi sesuai peraturan yang berlaku.

Bandung, 4 Januari 2017

Kezia Jocelyn
(2013620038)



LEMBAR REVISI

JUDUL: SINTESA SUPERABSORBEN DARI BIOMASSA AKUATIK DENGAN METODE *GRAFTING-CROSSLINKING* DENGAN DAN TANPA KOMPOSIT

CATATAN

Telah diperiksa dan disetujui,

Bandung, 17 Januari 2017

Dosen Penguji I,

A handwritten signature in blue ink.

Dr. Ir. Asaf Kleopas Sugih

Dosen Penguji II,

A handwritten signature in blue ink.

Hans Kristianto, S.T., M.T.



KATA PENGANTAR

Segala puji syukur penulis panjatkan kepada Tuhan Yesus Kristus atas penyertaan dan anugerah-Nya sehingga penulis dapat menyelesaikan laporan penelitian ini sebaik-baiknya dan tepat waktu. Laporan penelitian berjudul “SINTESA SUPERABSORBEN DARI BIOMASSA AKUATIK DENGAN METODE GRAFTING-CROSSLINKING DENGAN DAN TANPA KOMPOSIT” ini disusun sebagai salah satu bentuk prasyarat kelulusan Jurusan Teknik Kimia, Fakultas Teknologi Industri, Universitas Katolik Parahyangan. Penulis menyadari tanpa orang-orang yang berada di samping penulis, laporan penelitian ini tidak dapat terselesaikan dengan baik. Oleh karena itu, penulis ingin mengucapkan terima kasih kepada:

1. Dr. Ir. Judy Retti W, MAppSc., selaku dosen pembimbing yang telah membantu penulis sepanjang proses penelitian.
2. Angela Martina, S.T., M.T., selaku dosen kopembimbing yang telah membantu penulis sepanjang proses penelitian.
3. Orang tua, kakak, dan adik yang sangat penulis banggakan dan sayangi, yang telah mendukung penulis untuk menyelesaikan penelitian ini.
4. Olivia Juliani, Hanna Priescilia, Astrid Asclarizza, Maria Erliza Johan, dan Cindy Kristani sebagai teman-teman penulis yang telah memberikan semangat, dukungan dan bantuan kepada penulis.
5. Serta semua pihak yang ikut membantu penulis sepanjang proses penelitian.

Penulis menyadari bahwa laporan penelitian ini masih jauh dari sempurna, oleh karena itu penulis mengharapkan kritik dan saran yang bersifat membangun demi kesempurnaan laporan ini. Akhir kata, penulis mengharapkan laporan penelitian ini dapat berguna untuk membantu memperluas pengetahuan para pembaca.

Bandung, 17 Mei 2016

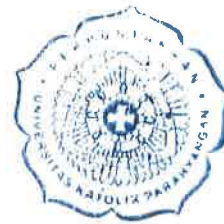
Penulis



DAFTAR ISI

COVER DALAM	i
LEMBAR PENGESAHAN	ii
SURAT PERNYATAAN	iii
LEMBAR REVISI	iv
KATA PENGANTAR	v
DAFTAR ISI	vi
DAFTAR GAMBAR	viii
DAFTAR TABEL	x
INTISARI	xii
ABSTRACT	xiii
BAB 1	1
1.1 Latar Belakang	1
1.2 Tema Sentral Masalah	4
1.3 Premis	4
1.4 Identifikasi Masalah	9
1.5 Hipotesa	9
1.6 Tujuan Penelitian	9
1.7 Manfaat penelitian	9
BAB 2	11
2.1 Rumput Laut	11
2.1.1 Rumput Laut Coklat	12
2.1.2 Rumput Laut Hijau	14
2.1.3 Rumput Laut Merah	15
2.2 Karaginan	16
2.2.1 Lambda-Karaginan	17
2.2.2 Iota-Karaginan	17
2.2.3 Kappa-Karaginan	18
2.3 Superabsorben	23
2.3.2 Metode-metode Umum Pembuatan Superabsorben	27
2.3.1 Klasifikasi Polimer Superabsorben	31

2.3.3 Penelitian yang Berkaitan dengan Pembuatan Polimer Superabsorben <i>Aquatic Biomass</i>	32
BAB 3	35
3.1 Bahan Penelitian	35
3.2 Alat Penelitian	35
3.3 Variabel dan Parameter Konstan	36
3.4 Prosedur Penelitian	37
3.4.1 Penelitian Utama	37
3.4.2 Analisa Produk	40
3.5 Jadwal Kerja	41
BAB 4	44
4.1 Sintesa Superabsorben	44
4.2 Equilibrium Swelling	50
4.2.1 Pengaruh jenis monomer Asam Akrilat dan Akrilamida terhadap <i>Equilibrium Swelling</i>	51
4.2.2 Pengaruh Perbandingan Konsentrasi antara Monomer Asam Akrilat dan Akrilamida terhadap <i>Equilibrium Swelling</i>	53
4.2.3 Pengaruh pH terhadap <i>Equilibrium Swelling</i>	54
4.2.4 Pengaruh Komposit Bentonit terhadap <i>Equilibrium Swelling</i>	55
4.2.5 <i>Swelling Rate</i> Superabsorben	57
BAB 5	63
DAFTAR PUSAKA	64
LAMPIRAN A	67
A.1 Kappa-karaginan	67
A.2 Asam Akrilat	67
A.3 Akrilamida	68
A.4 Ammonium Persulfat	69
A.5 N,N'-Metilenbisakrilamida	70
A.6 Etanol	71
A.7 Bentonit	72
LAMPIRAN B	73
LAMPIRAN C	81
LAMPIRAN D	84



DAFTAR GAMBAR

Gambar 2.1 Morfologi rumput laut	11
Gambar 2.2 Rumput laut coklat.....	13
Gambar 2.3 Rumput laut hijau	14
Gambar 2.4 Rumput laut merah	15
Gambar 2.5 Struktur molekul lambda-karaginan	17
Gambar 2.6 Struktur molekul iota-karaginan	17
Gambar 2.7 Struktur molekul kappa-karaginan	18
Gambar 2.8 Proses produksi karaginan <i>refined</i>	21
Gambar 2.9 Proses produksi karaginan <i>semi-refined</i>	22
Gambar 2.10 Polimer selulosa yang di- <i>crosslink</i> dengan <i>epichlorohydrin</i>	24
Gambar 2.11 Hidrasi.....	25
Gambar 2.12 Pembentukan ikatan hidrogen.....	25
Gambar 2.13 Mekanisme penyerapan air superabsorben	26
Gambar 2.14 Struktur kimia komposit bentonit	27
Gambar 2.15 Mekanisme reaksi bentonit dengan superabsorben	27
Gambar 2.16 Contoh proses <i>grafting</i> pada kopolimer	28
Gambar 2.17 Prinsip kerja sebuah <i>crosslinker</i>	28
Gambar 2.18 <i>Crosslinking</i> intermolekular	29
Gambar 2.19 <i>Crosslinking</i> intramolekular	29
Gambar 2.20 Reaksi tahap pertama dari mekanisme pengikatan kappa-karaginan kepada senyawa radikal bebas <i>Ammonium Persulfate</i> (APS)	30
Gambar 2.21 Reaksi tahap kedua dari mekanisme pengikatan kappa-karaginan kepada senyawa radikal bebas <i>Ammonium Persulfate</i> (APS)	30
Gambar 2.22 Reaksi <i>crosslinking-graft</i> dan kopolimerisasi kappa-karaginan.....	31
Gambar 3.1 Susunan alat reaktor batch isotermal	36
Gambar 3.2 Tabung gas nitrogen yang dihubungkan ke reaktor	36
Gambar 3.3 Air pemanas dan thermometer air pemanas	37
Gambar 3.4 Diagram proses sintesis superabsorben dengan <i>grafting-crosslinking</i>	39
Gambar 3.5 Diagram proses superabsorben dengan <i>grafting-crosslinking-composite</i>	40
Gambar 3.6 Diagram proses analisa daya serap air	41
Gambar 4.1 Produk kopolimer superabsorben dengan konsistensi gel	44
Gambar 4.2 Produk kopolimer superabsorben dengan konsistensi larutan kental	44
Gambar 4.3 Produk kopolimer superabsorben dengan komposit	45
Gambar 4.4 Pelarut keruh	46
Gambar 4.5 Pelarut bening	46
Gambar 4.6 Produk kopolimer superabsorben setelah pencucian	47

Gambar 4.7 Produk final tanpa komposit	48
Gambar 4.8 Produk final dengan komposit	48
Gambar 4.9 Produk saat t=0 (W1)	49
Gambar 4.10 Proses <i>swelling</i> produk.....	49
Gambar 4.11 Produk saat <i>equilibrium</i>	49
Gambar 4.12 Pengaruh jenis monomer (tanpa komposit) terhadap ES	50
Gambar 4.13 Pengaruh jenis monomer (dengan komposit) terhadap ES	51
Gambar 4.14 Struktur kimia Asam Akrilat.....	51
Gambar 4.15 Struktur kimia Akrilamida	51
Gambar 4.16 Gugus fungsi pada Asam Akrilat dan Akrilamida	52
Gambar 4.17 Pengaruh komposit Bentonit pada pH netral terhadap ES	54
Gambar 4.18 Pengaruh komposit Bentonit pada pH asam terhadap ES	55
Gambar 4.19 Pengaruh komposit Bentonit pada pH basa terhadap ES	55
Gambar 4.20 Kinetika <i>swelling</i> produk tanpa komposit pada larutan netral	57
Gambar 4.21 Kinetika <i>swelling</i> produk dengan komposit pada larutan netral	57
Gambar 4.22 Kinetika <i>swelling</i> produk tanpa komposit pada larutan asam.....	58
Gambar 4.23 Kinetika <i>swelling</i> produk dengan komposit pada larutan asam	59
Gambar 4.24 Kinetika <i>swelling</i> produk tanpa komposit pada larutan basa.....	60
Gambar 4.25 Kinetika <i>swelling</i> produk dengan komposit pada larutan basa	60
Gambar C.1 Proses pencucian produk (tanpa komposit)	82
Gambar C.2 Proses pencucian produk (dengan komposit).....	82
Gambar C.3 Tampilan produk (tanpa komposit) pada proses pengeringan	83
Gambar C.4 Tampilan produk (dengan komposit) pada proses pengeringan	83
Gambar C.5 Produk dengan komposit saat t=0 (W1).....	84
Gambar C.6 Produk dengan komposit saat <i>equilibrium</i> (W2)	84



DAFTAR TABEL

Tabel 1.1 Produksi komoditas perikanan Indonesia tahun 2012	1
Tabel 1.2 Lima negara penghasil rumput laut terbesar di dunia tahun 2015	2
Tabel 1.3 Lima negara penghasil karaginan terbesar di dunia tahun 2010	3
Tabel 1.4 Tabel premis	5
Tabel 2.1 Komposisi kandungan yang terdapat pada rumput laut coklat.....	13
Tabel 2.2 Komposisi kandungan yang terdapat pada rumput laut hijau	14
Tabel 2.3 Komposisi kandungan yang terdapat pada rumput laut merah	16
Tabel 2.4 Kecenderungan sifat lambda, iota, dan kappa-karaginan.....	19
Tabel 2.5 Klasifikasi polimer superabsorben berdasarkan muatan elektron, monomer, dan sumbernya.....	31
Tabel 3.1 Variasi penelitian.....	37
Tabel 3.2 Parameter konstan	38
Tabel 3.3 Jadwal Kerja	42
Tabel 4.1 Tampilan fisik produk superabsorben	43
Tabel 4.1 Tampilan fisik produk superabsorben (lanjutan).....	44
Tabel 4.2 Tampilan fisik produk superabsorben setelah pencucian	47
Tabel 4.3 <i>Swelling Rate</i> produk tanpa komposit pada larutan netral	58
Tabel 4.4 <i>Swelling Rate</i> produk dengan komposit pada larutan netral	58
Tabel 4.5 <i>Swelling Rate</i> produk tanpa komposit pada larutan asam	59
Tabel 4.6 <i>Swelling Rate</i> produk dengan komposit pada larutan asam	59
Tabel 4.7 <i>Swelling Rate</i> produk tanpa komposit pada larutan basa	61
Tabel 4.8 <i>Swelling Rate</i> produk dengan komposit pada larutan basa	61
Tabel A.1 MSDS kappa-karaginan.....	65
Tabel A.2 MSDS asam akrilat.....	66
Tabel A.3 MSDS akrilamida	67
Tabel A.4 MSDS ammonium persulfat	68
Tabel A.5 MSDS N-N' -metilenbisakrilamida.....	69
Tabel A.6 MSDS etanol.....	70
Tabel A.7 MSDS bentonit	71
Tabel B.1 Percobaan 1 dan 6 (pH = 7)	73
Tabel B.2 Percobaan 2 dan 7 (pH = 7)	73
Tabel B.3 Percobaan 3 dan 8 (pH = 7)	74
Tabel B.4 Percobaan 4 dan 9 (pH = 7)	75
Tabel B.5 Percobaan 5 dan 10 (pH = 7)	75
Tabel B.6 Percobaan 1 dan 6 (pH = 3)	76
Tabel B.7 Percobaan 2 dan 7 (pH = 3)	76
Tabel B.8 Percobaan 3 dan 8 (pH = 3)	76

Tabel B.9 Percobaan 4 dan 9 (pH = 3)	77
Tabel B.10 Percobaan 5 dan 10 (pH = 3)	77
Tabel B.11 Percobaan 1 dan 6 (pH = 11)	78
Tabel B.12 Percobaan 2 dan 7 (pH = 11)	78
Tabel B.13 Percobaan 3 dan 8 (pH = 11)	79
Tabel B.14 Percobaan 4 dan 9 (pH = 11)	79
Tabel B.15 Percobaan 5 dan 10 (pH = 11)	80



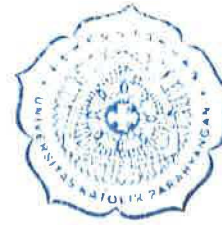
INTISARI

Sebagai negara penghasil rumput laut terbesar di dunia, pemanfaatan rumput laut di Indonesia sebagai produk ekspor dalam bentuk mentah dan untuk konsumsi langsung saja tidak maksimal. Kebutuhan superabsorben terus meningkat, terutama untuk produk-produk sanitasi dan *personal hygiene*. Superabsorben umumnya dibuat dari polimer sintetik seperti *poly-acrylic acid*, *poly-vinyl alcohol* dan *poly-ethylene oxide oxide* dengan kelemahan yaitu tidak dapat terbiodegradasi sehingga menimbulkan masalah untuk lingkungan. Pemanfaatan kappa-karaginan berpotensi menjadi polimer alternatif untuk membentuk superabsorben berbasis biomassa yang ramah lingkungan dan dapat meningkatkan nilai jual rumput laut. Peningkatan nilai jual rumput laut dapat meningkatkan kesejahteraan pelayan rumput laut sekaligus menjadi pemasukan bagi devisa negara. Tujuan dari penelitian ini adalah untuk mengembangkan proses pembuatan superabsorben dengan mempelajari pengaruh dari jenis monomer, konsentrasi monomer, pengaruh komposit, dan pH medium penyerapan terhadap daya serap air suatu superabsorben.

Sintesis superabsorben berbasis biomassa menggunakan variabel metode pembuatan (*Grafting-Crosslinking*, dan *Grafting-Crosslinking-Composite* dengan Bentonit) variabel rasio mol Asam Akrilat : Akrilamida (0:1, 1:0, 1:1, 1:3, 3:1),, dan pH (3, 7, dan 11). Dalam metode *Grafting-Crosslinking* kappa-karaginan 3% b/v dicampurkan dengan monomer Asam Akrilat (AA) dan Akrilamida (Aam), inisiator Amonium Persulfat (APS) sebanyak 0,02 mol/L, dan crosslinker Metilembisakrilamida (MBA) sebanyak 0,007 mol/L secara simultan kedalam reaktor berpengaduk 400 rpm selama 1 jam dengan temperatur 70 °C dibawah atmosfer nitrogen. Dalam metode *Grafting-Crosslinking-Composite*, dilakukan prosedur yang sama dengan penambahan komposit Bentonit dengan rasio massa komposit 1:2 terhadap Kappa-Karaginan. Produk superabsorben yang dihasilkan dicuci dengan etanol sebanyak 400mL dalam Etanol dan dibiarkan dewater. Pengeringan superabsorben dilakukan pada oven selama 10 jam dengan temperatur 50°C untuk dianalisis kualitasnya berdasarkan prinsip gravimetri untuk daya serap air/*Equilibrium Swelling* (ES).

Produk dengan monomer Asam Akrilat (rasio mol AA:Aam 1:0) memiliki nilai ES yang lebih tinggi dibandingkan dengan produk dengan monomer Akrilamida (rasio mol AA:Aam 0:1). Secara keseluruhan nilai ES optimum sebesar 391.53 g/g diperoleh pada produk tanpa komposit dengan rasio mol AA:Aam 1:1 pada keadaan pH 7. Penambahan komposit, dan penurunan pH medium penyerapan akan mengurangi nilai ES produk. Secara keseluruhan, laju *swelling* terbaik dimiliki oleh produk tanpa komposit dengan rasio mol AA:Aam 1:3.

Kata kunci: superabsorben, kappa-karaginan, *grafting*, *crosslinking*, bentonit, *Equilibrium Swelling*



ABSTRACT

As one of the world's largest seaweed producer, the utilization of seaweed in Indonesia has not reached its maximum potential with only exporting and selling it in its raw form. The demand for superabsorbents has continuously grown, especially in sanitation and personal hygiene products. Generally, superabsorbents are made out of synthetic polymers such as poly-acrylic acid, poly-vinyl-alcohol, and poly-ethylene oxide with the downside of its non-biodegradability that contributes to environmental problems. The utilization of Kappa-Karaginan has potential to become an alternative polymer to produce a biomass based superabsorbent which is environmentally friendly and able to increase seaweed selling value. The higher the value gets, the more prosperous fishermen lives will be as well as it being an inclusion of a foreign exchange income. The objective of this research is to develop the synthesis process of a superabsorbent by studying the effects of monomer types, monomer concentration, composite concentration, and swelling medium pH towards the swelling ability of the superabsorbent.

The synthesis of a biomass based superabsorbent applies the synthesis method variable (Grafting-Crosslinking, and Grafting-Crosslinking-Composite with Bentonite), mol ratio variable of Acrylic Acid : Acrylamide (0:1, 1:0, 1:1, 1:3, 3:1), and swelling medium pH variable (3, 7, and 11). In Grafting-Crosslinking method, 5%*b/v* Kappa-Karaginan is reacted with Acrylic Acid (AA), Acrylamide (Aam), 0,02 mol/L of Ammonium Persulfate initiator (APS), and 0,007 mol/L of Methylenebisacrylamide crosslinker (MBA) simultaneously in a reactor with stirring speed of 400rpm within 1 hour at 70 °C under nitrogen atmosphere (inert). In Grafting-Crosslinking-Composite method, an identical procedure is conducted with the addition of Bentonite composite (1:2 Bentonite to Kappa-Karaginan mass ratio). The superabsorbent product is then poured into ethanol (400 mL) to dewater. Product drying is done in the oven throughout 10 hours at 50°C to then be analyzed with gravimetric principal for its swelling ability/Equilibrium Swelling (ES).

The product with Acrylic Acid monomer (1:0 AA:Aam mol ratio) had a better swelling ability compared to the product with Acrylamide monomer (0:1 AA:Aam) proven by a higher ES. Overall, an optimum ES of 391.53 g/g was achieved with non-composite product that has a 1:1 AA:Aam mol ratio swelled at pH 7 (neutral swelling medium pH). The addition of composite, and the decreasing swelling medium pH decreased the ES of the product. In the case of Swelling Rate, the non-composite product with 1:3 AA:Aam mol ratio showed the best overall performance.

Key words: superabsorbent, kappa-carrageenan, crosslinking, grafting, bentonite, Equilibrium Swelling



BAB 1

PENDAHULUAN

1.1 Latar Belakang

Sebagai sebuah negara kepulauan yang terdiri atas dua per tiga bagian berupa lautan, Indonesia merupakan salah satu negara dengan hasil laut terbesar di dunia. Spesies laut yang sangat beragam berhabitat di perairan Indonesia, sehingga potensi tinggi dimiliki perairan Indonesia untuk menghasilkan sumber daya alam laut yang optimal. Hasil laut Indonesia didominasi oleh rumput laut (dapat dilihat pada **Tabel 1.1**). Data statistik yang diterbitkan oleh *Food and Agriculture Organization* (FAO) pada bulan Maret 2015 menunjukkan pula Indonesia sebagai negara penghasil rumput laut kedua terbesar di dunia, terutama spesies *Eucheuma cottonii* yang termasuk dalam rumput laut merah (dapat dilihat pada **Tabel 1.2**).

Tabel 1.1 Produksi komoditas perikanan Indonesia tahun 2012 (Nugroho,2013)

Jenis Komoditas	Jumlah Produksi (ton)
Tuna	275.779
Cakalang dan Tongkol	861.162
Udang	678.549
Bandeng	515,527
Patin	347.000
Rumput Laut	6.552.495

Tabel 1.2 Lima negara penghasil rumput laut terbesar di dunia tahun 2015 (FAO, 2015)

No	Negara	Volume Produksi (ton)
1	Republik Rakyat Cina	13,479,355
2	Indonesia	9,298,474
3	Filipina	1,558,378
4	Republik Korea	1,131,305
5	Jepang	418,365

Sebagian besar hasil rumput laut ini masih hanya dimanfaatkan secara langsung seperti dalam industri pangan dan sebagai produk ekspor utama Indonesia. Karena yang diekspor dalam bentuk mentah maka nilai jualnya juga rendah.

Terdapat tiga macam rumput laut yaitu rumput laut hijau, coklat, dan merah. Masing-masing rumput laut memiliki polisakarida yang berbeda-beda. Rumput laut coklat umumnya diolah untuk mendapatkan alginat, sedangkan rumput laut merah umumnya diolah untuk mendapatkan karaginan. Karaginan merupakan kandungan utama dari rumput laut merah yang memiliki manfaat yang cukup luas dalam industri pangan seperti agen koloidal untuk *thickening*, *suspending*, dan *stabilizing* (Barbaroux, 2007). Selain pada industri pangan, karaginan juga banyak dimanfaatkan pada industri farmasi dan kosmetik sebagai agen *hair conditioning*, *emulsion stabilizer*, dan pembentuk lapisan film. Dari **Tabel 1.3** juga dapat terlihat bahwa Indonesia merupakan penghasil karaginan terbesar di dunia, berdasarkan data statistik *Social and Economic Dimensions of Carrageenan Seaweed Farming* yang diterbitkan oleh *Food and Agriculture Organization* (FAO)

Tabel 1.3 Lima negara penghasil karaginan terbesar di dunia tahun 2010 (FAO, 2013)

No	Negara	Volume Produksi (ton)
1	Indonesia	3,399,000
2	Filipina	1,795,000
3	Malaysia	208,000
4	Tanzania	132,000
5	Republik Rakyat Cina	64,000

Mengingat bahwa Indonesia merupakan penghasil karaginan terbesar di dunia, pemanfaatan karaginan yang hanya berkisar di industri pangan, kosmetik dan farmasi menjadi tidak maksimal. Diperlukan suatu inovasi baru untuk memaksimalkan pemanfaatan karaginan di Indonesia. Ternyata karaginan dapat diolah menjadi produk lain yang memiliki nilai jual lebih tinggi dan pemanfaatan yang lebih luas, seperti untuk bahan baku alternatif produksi bahan bakar selama terdapat sakarida di dalamnya, dan superabsorben.

Superabsorben merupakan sebuah material yang memiliki kemampuan menyerap air 1000-100,000 kali dari beratnya sendiri dan tetap dapat mempertahankan bentuknya (Elliot, 1997). Jenis-jenis produk komersial yang mengaplikasikan teknologi polimer superabsorben pada saat ini cukup banyak, umumnya berkisar pada produk-produk sanitasi seperti popok bayi dan dewasa, tissue basah, dan pembalut wanita. Kebutuhan polimer superabsorben pada separasi air-minyak, pertambangan minyak, pengawetan makanan, dan limbah cair rumah sakit juga cukup tinggi (Province, 2008). Superabsorben pada umumnya dibentuk dari polimer-polimer sintetik seperti *poly-acrylic acid*, *poly-vinyl alcohol* dan *poly-ethylene oxide* (Elliot, 1997). Setelah selesai digunakan, superabsorben dari polimer sintetik ini tidak dapat terbiodegradasi dengan baik dan dapat memicu pencemaran lingkungan, sehingga perlu dikembangkan superabsorben berbasis natural yang dapat terbiodegradasi dengan baik di lingkungan.

Karaginan merupakan polisakarida dari biomassa rumput laut yang dapat dimanfaatkan dalam sintesis superabsorben karena karaginan merupakan polimer natural yang dapat meminimalkan penggunaan polimer sintesis dalam pembuatan superabsorben. Selain lebih mudah terbiodegradasi, superabsorben berbasis karaginan juga memiliki keuntungan lain yaitu

dalam faktor keamanan penggunaan mengingat sebagian besar superabsorben digunakan dalam produk-produk sanitasi.

1.2 Tema Sentral Masalah

Teknologi pemanfaatan rumput laut di Indonesia perlu dikembangkan dan dieksplorasi selain untuk konsumsi langsung dan ekspor dalam keadaan mentah untuk menghasilkan produk superabsorben yang banyak manfaatnya.

1.3 Premis

Premis yang digunakan pada penelitian ini disajikan pada Tabel 1.4.

Tabel 1.4 Tabel Premis

No	Peneliti	Bahan Baku	Metode	Kondisi Operasi	Variabel	Metode Analisis	Hasil
1	Hossein Hosseinzadeh, 2009	<ul style="list-style-type: none"> • 2-hydroxyethyl acrylate (HEA)-Monomer • Kappa-carrageenan (kC) • Potassium persulfate (KPS)-free radical initiator • Methylen bisacrylamide (MBA)-crosslinker 	Crosslinking graft copolymerization	<p>Sintesis Superabsorbent Hyrogel:</p> <ul style="list-style-type: none"> • Waterbath : 80 oC • Temperatur Oven : 50 oC • Waktu Reaksi : 60 menit 	<ul style="list-style-type: none"> • Konsentrasi MBA (0.005-0.025 mol/L), ES optimum pada 0.005 mol/L • Konsentrasi HEA (0.17-1.02 mol/L), ES optimum pada 0.7 mol/L • Konsentrasi KPS (0.005-0.24 mol/L), ES optimum pada 0.1 mol/L • Konsentrasi berat kC (1-6 %wt), ES optimum pada 4 %wt • Konsentrasi larutan NaCl, CaCl2, AlCl3 (0.01-0.3 mol/L), ES pada NaCl>CaCl2>AlCl3 dengan titik optimum pada 0.02 mol/L • pH (1-13), ES optimum pada pH 8 	<ul style="list-style-type: none"> • FTIR Spectroscopy : Struktur kimia hidrogel • Electron Microscopy (SEM) : Morfologi hidrogel • Gravimetri : Kapasitas swelling hidrogel 	<ul style="list-style-type: none"> • Hidrogel superabsorben yang tahan garam (salt-resistant) • ES : 312 g/g • kC-g-poly(2-hydroxyethyl acrylate)
2	Hossein Hosseinzadeh, 2012	<ul style="list-style-type: none"> • Kappa-carrageenan (kC) • Sodium alginate (Alg) • Epichlorohydrina (ECH)-Crosslinker 	Crosslinking	<p>Sintesis Superabsorbent Hydrogel:</p> <ul style="list-style-type: none"> • Temperatur waterbath : 50-90 oC • Kecepatan pengadukkan : 600 rpm • Pemanasan pada oven : 60 oC 	<ul style="list-style-type: none"> • Konsentrasi kC pada polisakarida (0-100 %wt), dengan titik optimum pada 50 %wt • Konsentrasi ECH (0.001-0.04 mol/L), ES optimum pada 0.001 mol/L • Medium swelling (air dan saline), ES pada water>saline • Temperatur reaksi (50-100 oC), ES optimum pada 80 oC dengan 68 g/g • Waktu reaksi (10-70 min), ES optimum pada 10 menit, konversi optimum pada 70 min • Kecepatan pengadukkan (50-1000 rpm), ES op • pH (1-11), ES optimum pada pH 6 	<ul style="list-style-type: none"> • FTIR Spectroscopy : Struktur kimia hidrogel • Gravimetri : Kapasitas swelling hidrogel 	<ul style="list-style-type: none"> • Hidrogel superabsoren full polysaccharide yang sensitif terhadap pH • ES : 265 g/g

3	M. Sadeghi, 2012	<ul style="list-style-type: none"> • Kappa-carrageenan (kC) • Acrylamide (AAm)-monomer • Itaconic acid (IA)- monomer • Montmorillonite clay powder-komposit • Methylene bisacrylamide (MBA)-crosslinker • Ammonium Persulfate (APS)-initiator 	Crosslinking graft copolymerization	<p>Sintesis Komposit Superabsorbent :</p> <ul style="list-style-type: none"> • Temperatur waterbath : 65 oC • Kecepatan pengadukan : 300 rpm • Argon Atmosphere • Pemanasan pada oven : 50 oC 	<ul style="list-style-type: none"> • pH (1-13), ES optimum pada pH 8 • TGA (0-550 oC), Stabilitas termal optimum pada 10-130 oC, Stabilitas termal hidrogel dengan komposit lebih baik dibandingkan dengan hidrogel biasa • Konsentrasi MBA (0.004-0.03 mol/L), ES ($\text{g H}_2\text{O/g composite}$) optimum pada 0.005 mol/L • Rasio perbandingan IA dan AAm (0.25-4), ES optimum pada 1.5, dengan ES hidrogel komposit < hidrogel biasa • Konsentrasi APS (0.005-0.039 mol/L), ES optimum pada 0.0011 mol/L • Rasio perbandingan Montmorillonite dan kC (0-2.5), ES optimum pada perbandingan terkecil • Temperatur Reaksi (30-75 oC), ES optimum pada 65 oC • Konsentrasi larutan NaCl, CaCl₂, AlCl₃ (0-0.03 mol/L), ES pada NaCl>CaCl₂>AlCl₃ dengan titik optimum pada 0.01 mol/L • Konsentrasi larutan MgCl₂, CaCl₂, SrCl₂, BaCl₂ (0-0.25 mol/L), ES pada MgCl₂>CaCl₂>SrCl₂>BaCl₂ dengan titik optimum 0.001 mol/L 	<ul style="list-style-type: none"> • FTIR Spectroscopy : Struktur Kimia Hidrogel • TGA (Thermogravimetric Analysis) : % weight retention • Electron Microscopy : Morfologi Hidrogel • Gravimetri : Kapasitas swelling hidrogel 	<ul style="list-style-type: none"> • Hidrogel superabsorbent komposit yang sensitive terhadap pH, tahan garam • Dapat terbiodegradasi dengan baik • ES: 280 g H₂O/g komposit
4	Shubo Hu, Aiqin Wang, 2008.	<ul style="list-style-type: none"> • Acrylamide (99.5%)-monomer • Acrylic Acid-monomer • Sodium Alginate • Sodium Humate • Methylenebisacrylamide (MBA)-crosslinker • Ammonium Persulfate (APS)-initiator 	Crosslinking graft copolymerization	<p>Sintesis Hidrogel Superabsorbent :</p> <ul style="list-style-type: none"> • Temperatur waterbath : 60-70 oC • Temperatur oven : 70 oC 	<ul style="list-style-type: none"> • Konsentrasi MBA (0.11-0.22 %), Q optimum pada 0.11% • Konsentrasi Sodium Alginat (3-20%), Q optimum pada 11% • Konsentrasi Sodium Humate (0-20%), Q optimum pada 10% • pH 2-12, Q optimum pada pH 5-9 • Pengaruh Larutan NaCl dan CaCl₂ (0-250 min), Q optimum pada larutan NaCl pada menit ke 0-250 	<ul style="list-style-type: none"> • FTIR Spectroscopy : Struktur Kimia Hidrogel • TGA (Thermogravimetric Analysis) : % weight retention • Scanning Electron Microscopy (SEM) : Morfologi Hidrogel 	<ul style="list-style-type: none"> • Hidrogel superabsorbent NaAlg-g-PAA/S, dapat terbiodegradasi dengan baik • Q : 1380 g/g

5	Hamid Salimi, Ali Poursavadi, Fazlal Seidi, Payam Eftekhar Jahromi, Roshnollah Soleymani, 2010	<ul style="list-style-type: none"> Kappa-Carrageenan (KC) Acrylic Acid (AA)-monomer Sodium Acrylate-monomer Methylene bisacrylamide (MBA)-crosslinker 2-hydroxyethyl acrylate (HEA)-monomer Amonium Persulfate (APS)-initiator Analytical Inorganic Salts Double-distilled water Oxygen-free Nitrogen gas Ethanol 	Crosslinking graft copolymerization	<p>Sintesis Superabsorben Hydrogel:</p> <ul style="list-style-type: none"> Temperatur waterbath : 80 oC Kecepatan pengadukan : 150 rpm Temperatur oven : 30 oC 	<ul style="list-style-type: none"> • Temperatur TGA & DTG (1-700 oC), Stabilitas Termal Optimum pada 100-400 oC • Konsentrasi larutan NaCl (1-0.3 mol/L), ES optimum pada 0.01 mol/L • Medium swelling (NaCl, CaCl2, AlCl3), ES pada NaCl>CaCl2>AlCl3 • Rasio perbandingan berat AA dan HEA (0.33; 1; 3), ES pada ratio 3>1>0.33 • Rasio perbandingan volume solven dan air (0-100%), ES optimum pada rasio terkecil • pH (1-13), ES untuk ratio AA/HEA=3 pada pH 8.5, ES untuk ratio AA/HEA=1 pada pH 6, ES untuk ratio AA/HEA=0.33 pada pH 3 • Waktu swelling (0-25 min), ES optimum pada 25 min 	<ul style="list-style-type: none"> • FTIR Spectroscopy : Struktur Kimia Hidrogel • TGA (Thermogravimetric Analysis) : % weight retention • Scanning Electron Microscopy (SEM) : Morfologi Hidrogel • DTR (Differential Thermogravimetric) : Kinetika • Gravimetri : Kapasitas swelling hidrogel 	<ul style="list-style-type: none"> • Hidrogel Superabsorbent dengan stabilitas termal tinggi • ES : 300 g/g
6	Yanfang Wang, Mingzhi Lin, Bolin Ni, Lihua Xie, 2011	<ul style="list-style-type: none"> Kappa-carrageenan (KC) Acrylamide (AAm)-monomer Celite-komposit Methylene bisacrylamide (MBA)-crosslinker Amonium Persulfate (APS)-initiator Nitrogen Larutan CaCl2 Larutan KCl 	Crosslinking	<p>Sintesis Komposit Superabsorbent</p> <ul style="list-style-type: none"> Temperatur waterbath : 80 oC <p>Sintesis batiran KC-SA kompleks</p> <ul style="list-style-type: none"> Temperatur waterbath : 250oC Temperatur oven : 35 oC 	<ul style="list-style-type: none"> • Rasio konsentrasi berat (%wt) MBA dan AA (0.2-0.5%), ES optimum pada 0.2 % • Rasio konsentrasi berat (%wt) APS dan AA (0.2-0.8%), ES optimum pada 0.3 % • Rasio konsentrasi berat (%wt) KC dan AA (0-6%), ES optimum pada 4% • Rasio konsentrasi berat (%wt) Celite dan AA (0-5%), ES optimum pada 2.5 % • Waktu swelling (1-350 min), AUL optimum pada 350 min • Derajat neutralitas AA (10-70%), ES optimum pada 30 % 	<ul style="list-style-type: none"> • FTIR Spectroscopy : Struktur Kimia Hidrogel • Scanning Electron Microscopy (SEM) : Morfologi Hidrogel • Gravimetri : Kapasitas swelling hidrogel 	<ul style="list-style-type: none"> • KC-g-PAA/Celite superabsorbent • ES : 343 g/g

7	H. Hosseinzadeh, A. Pourjavadi, G.R.Mahdavini, M.J. Zohrehzad-Mehr, 2013	<ul style="list-style-type: none"> • Kappa-Carrageenan (kC) • Acrylamide (AAm)-monomer • Methylene Bisacrylamide (MBA)-crosslinker • Ammonium Persulfate (APS)-initiator • Methanol • NaOH 	Crosslinking graft copolymerization	<p>Sintesis Superabsorben Hidrogel :</p> <ul style="list-style-type: none"> • Temperatur waterbath : 80 oC • Temperatur oven : 50 oC • Absence of Oxygen 	<ul style="list-style-type: none"> • Konsentrasi AAm (0.28-1.24 mol/L), ES optimum pada 0.7 mol/L • Konsentrasi MBA (0.001-0.01 mol/L), ES optimum pada 0.006 mol/L • Konsentrasi APS (0.002-0.044 molL), ES optimum pada 0.4 mol/L • Konsentrasi kC, ES optimum pada 2 % wt • Temperatur waterbath (50-100 oC), ES optimum pada 70 oC • Waktu reaksi (5min - 3h), ES optimum pada 30 min • Larutan garam (NaCl, CaCl2, AlCl3), ES pada NaCl>CaCl2>AlCl3 	<ul style="list-style-type: none"> • FTIR Spectroscopy : Struktur Kimia Hidrogel • Gravimetri : Kapasitas swelling hidrogel 	<ul style="list-style-type: none"> • Hidrogel Superabsorben tahan garam • ES optimum pada temperatur waterbath 70oC adalah 1300 g/g
8	Mohammad Sadeghi, Nahid Ghasemi and Monzvar Kazemi, 2012	<ul style="list-style-type: none"> • Kappa-carrageenan (kC) • Acrylic Acid (AA)- monomer • Kaolin powder-komposit • Methylene bisacrylamide (MBA)-crosslinker • Ammonium Persulfate (APS)-initiator 	Crosslinking graft copolymerization	<p>Sintesis Superabsorben Hidrogel :</p> <ul style="list-style-type: none"> • Temperatur waterbath : 65-70 oC • Kecepatan Pengadukan : 300 rpm • Temperatur Oven : 50 oC • Argon Atmosphere 	<ul style="list-style-type: none"> • Konsentrasi MBA (0.00582-0.125 mol/L), Swelling Ratio optimum pada 0.00582mol/L • Konsentrasi AA (0.12-0.6 mol/L), Swelling Ratio optimum pada 0.42 mol/L • Konsentrasi APS (0.002-0.033 mol/L), Swelling Ratio optimum pada 0.019 mol/L • Rasio konsentrasi Kaolin dengan kC (0.25-2.5), Swelling Ratio optimum pada rasio 0.25 	<ul style="list-style-type: none"> • FTIR Spectroscopy : Struktur Kimia Hidrogel • Gravimetri : Kapasitas swelling hidrogel 	<ul style="list-style-type: none"> • Hidrogel superabsorbent komposit dengan ES : 380 g/g

1.4 Identifikasi Masalah

1. Bagaimana pengaruh jenis monomer (Asam Akrilat dan Akrilamida) terhadap daya serap air superabsorben?
2. Bagaimana pengaruh perbandingan konsentrasi monomer (Asam Akrilat dan Akrilamida) terhadap daya serap air superabsorben?
3. Bagaimana pengaruh komposit Bentonit terhadap kualitas daya serap air superabsorben?
4. Bagaimana pengaruh pH medium penyerapan terhadap daya serap air superabsorben?

1.5 Hipotesis

1. Penggunaan monomer Asam Akrilat memberikan daya serap air superabsorben yang lebih tinggi dibandingkan jika menggunakan monomer Akrilamida.
2. Perbandingan konsentrasi Asam Akrilat terhadap konsentrasi monomer Akrilamida yang lebih tinggi memberikan daya serap air superabsorben yang lebih tinggi dibandingkan dengan perbandingan konsentrasi Asam Akrilat terhadap konsentrasi monomer Akrilamida yang rendah.
3. Penggunaan komposit memberikan daya serap air yang lebih rendah.
4. pH 7 merupakan pH medium penyerapan paling optimum.

1.6 Tujuan Penelitian

1. Mengembangkan proses pembuatan superabsorben berbasis karaginan dengan metode *crosslinking grafting* dan metode *crosslinking grafting* dengan komposit bentonit.
2. Mempelajari pengaruh dari jenis monomer, konsentrasi monomer, dan komposit terhadap daya serap air suatu superabsorben.

1.7 Manfaat penelitian

1. Untuk peneliti

Memberikan informasi berupa data-data tentang pembuatan superabsorben berbasis karaginan, seperti jenis dan konsentrasi monomer, dan pengaruh komposit.

2. Untuk masyarakat

Mengembangkan kesejahteraan masyarakat dengan meningkatkan nilai jual dan pemanfaatan rumput laut sehingga pasar rumput laut di Indonesia dapat lebih bersaing.

3. Untuk pemerintah

Menerapkan teknologi superabsorben berbasis karaginan untuk dapat dipasarkan di Indonesia bahkan sebagai produk ekspor yang dapat meningkatkan devisa negara.